

東京理大 正員 ○森地 重輝
東大生研 正員 田村 重四郎

1. はじめ 地中坑道内の振動源、例えは走行する地下鉄道車両等によって生ずる坑道、及びその周辺地盤の振動状況を動力学的に検討するに当って、地中坑道より発生する波動の地盤内での伝播状況を解明することは基本的であると考える。この種の解明は、振動源の動的特性、地盤の力学的性質、幾何学的形状等の諸要素が重なり合うために、一般には容易でない。

本文では坑道を含む地盤模型を製作して波動実験を行うことにより地中坑道から発生する波動の地盤内での伝播状況を調査したので、その結果を報告する。

2. 実験計画 及び 実験方法 実験対象としたのは地中坑道横断面方向の地盤内の波動伝播状況であり、実験には二次元的模型を用いた。地盤模型は硬い基層上にある表面層と考え、その中に地中坑道があるとした。地盤内を伝播する波動の把握は光弾性実験を利用して行った。

地盤模型材料としてはゼラチンゲルを用いた。ゼラチンゲルの横波伝播速度は著しく低いことから波動現象の早さが低減しうるため、比較的小さな模型でも容易に現象の捕捉が行いうる。又、この材料の光弾性感度は著しく高いために光弾性実験法により応力の把握が容易に行いうる。

地盤模型は高さ10cm、横幅50cm、厚さ10cmの角墻形のものとし、地盤模型の中心線上、中位レベルに $2.3 \times 2.3\text{cm}$ （肉厚1mm）の正方形の坑道模型をそそう入した。模型底面はアルミニニューム板とした。地盤模型材料（ゼラチンゲル）の横波伝播速度は 2.74m/sec で弾性率は $0.2 \times 6.18/\text{cm}^2$ 、又、坑道模型材料（シリコーンゴム）の弾性率は $4.18/\text{cm}^2$ である。本模型では地盤材料と坑道材料との弾性率の比が $1:17.5$ であり、実際の坑道材料の弾性率を $200,000.0/\text{cm}^2$ とすると地盤材料の弾性率は $11,500.0/\text{cm}^2$ と通常よりはやや硬めの地盤を想定していることになる。

波動現象を捕捉するには高速度撮影機（HITACHI, 16HD）を使用し、本実験の場合でのコマ撮り速度は $1,000\text{コマ/sec}$ とした。波動発振源は地中坑道内にあると考えて、実験上ではシンチュウ丸棒（4mmφ）を坑道内に設置した。波動の発生には、波動発振源とした丸棒を電磁式加振器の加振棒に直結して、加振器の電源を入れる際に発生する過渡的な加振棒の変位を利用している。

3. 実験結果 及び その検討 上述の方法で波動を坑道模型より発生させ、地盤模型内を伝播する波動に伴う等色線模様を撮影した結果が写真-1-(1), (2), (3)及び(4)に示されている。

これらの写真から認められる波動現象は大略、次のようである。波動発生後、発振源直下に著しい等色線の発生があり、次いで発振点が地中坑道下床にあるにかかると、坑道全体が発振源であるかのような波面の発生が認められ、それが拡大してゆく。その波面が拡大進行してゆくと、鉛直方向には基層からの波動の反射の生ずるものが認められる。

写真-1-(2)における等色線分布は図-1に示す通りである。図中における等色線上の点（黒丸印）に注目し、それらの点の移動速度を算出すると $2.75 \sim 2.46\text{m/sec}$ となる。本地盤模型材料の横波伝播速度が 2.74m/sec であることを考慮すると図-1に示した等色線は横波によるものであることが分かる。

このように横波が進行していくと考えると写真-1-(2)以前の、波動発振後の写真である写真-1-(1)は縦波の影響を表したものと考えられる。縦波の伝播速度は本模型材料のボルソン比（0.5）の関係上、著しく高いために波面の移動を明瞭にみることはできない。但し、写真-1-(1)で示されるように、縦波は坑道の上方、側方に比べて坑道下部方向へ相対的に高い応力で伝播していくのが認められる。

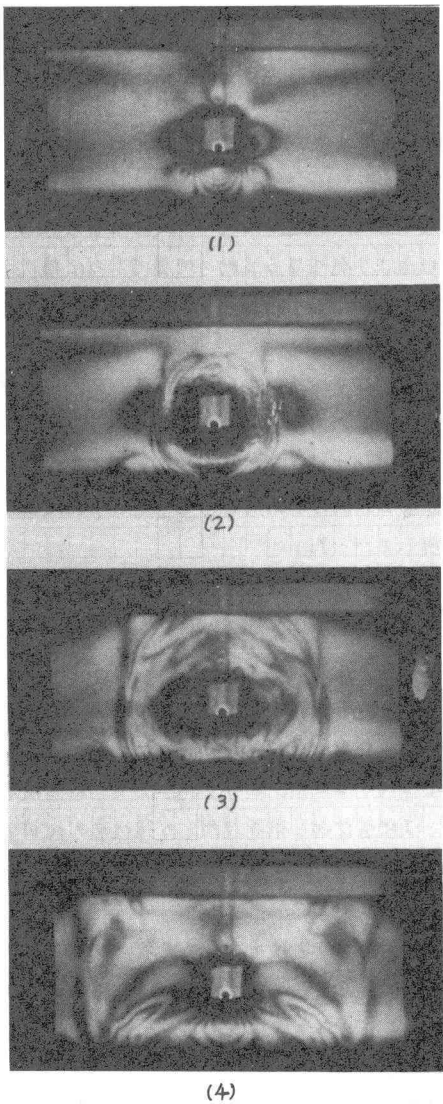


写真-1

らの反射波による等色線が認められる。しかし、地表面からの反射波は前者程には明瞭に確認できなかった。

4.まとめ 模型実験により地中坑道から地盤へと伝播する波動の解析を行った。実験結果の検討を要約すると次のようである。
 ① 横波のものと思われる波面が坑道全体から拡大進行していくのが認められる。
 ② 波動発生直後に発振点位置から縦波の伝播が認められる。又、縦波は坑道下部から上方、側方に比べて相対的に高い応力で下方に伝播していく。
 ③ 横波の波面はやや下ぶくれの形状を呈する。この波面の形状は幾何学的にも説明できる。
 ④ 坑道下部から発生する横波は上部からのものに比べて高い応力で伝播していく。又、水平軸とほぼ45°の方向で最大せん断応力が極値を示す。
 ⑤ 地表面からの反射波は、基層からのもの程には、明瞭に認められない。

終りに本研究を実施するに当つての帝都高速度交通営団の御好意に謝意を表する次第である。

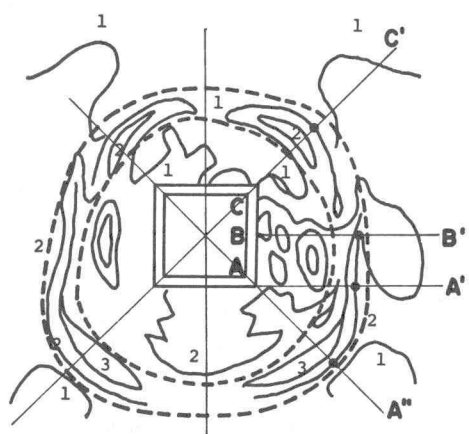


図-1

写真-1-(2)にて示される横波の波面はやや下ぶくれの形状を呈している。この波面の形状は地盤模型材料と坑道模型材料との横波伝播速度の差異を考慮して波動の発振点からの波面の進行の様子を幾何学的に求めたものと類似している。このことは、発表当日に詳述する。

図-1における点線内を波面の近傍と考えると点線内では等色線の様子からみて坑道の中心点から約45°の方向に最大せん断応力が極値をもつと推定される。又、最大せん断応力の大きさは坑道上床側よりも発振点のある下床側の方が大きい。

写真-1-(2)に示す波面が拡大していくと、やがて、地表面及び基層において、波面の反射が生ずる。写真-1-(4)では明らかに基層か